



Laboratorium Badań Środowiskowych
ul. Józefa Piusa Dziekońskiego 3
00-728 Warszawa
e-mail: Laboratorium@networks.pl



AB 419

S P R A W O Z D A N I E 10410/2021/OS
Z POMIARÓW PÓL ELEKTROMAGNETYCZNYCH
WYKONANYCH DLA POTRZEB OCHRONY ŚRODOWISKA

Badany obiekt: Instalacja radiokomunikacyjna T-Mobile Polska S.A.
Numer i nazwa: 36720 (46620N!) GTO_GRODZICZN_GRODZICZNO
Adres: GRODZICZNO DZ.209/16, Powiat nowomiejski, WOJ. WARMIŃSKO-MAZURSKIE

Data wykonania pomiarów: 2021-12-14

Sprawozdanie z badań bez pisemnej zgody laboratorium nie może być powielane inaczej niż w całości.
Wynik przedstawione w niniejszym sprawozdaniu odnoszą się wyłącznie do badanego obiektu i do warunków i konfiguracji urządzeń w dniu wykonywania pomiarów.

1. Właściciel badanego obiektu:

T-Mobile Polska S.A., ul. Marynarska 12, 02-674 Warszawa

2. Zleceniodawca:

T-Mobile Polska S.A., ul. Marynarska 12, 02-674 Warszawa

3. Przedstawiciel zleceniodawcy:

NetWorkS! Sp.z o.o.

4. Zakres zlecenia:

Wykonanie badania i opracowanie sprawozdania z pomiarów natężenia pola elektrycznego i pola magnetycznego dla instalacji radiokomunikacyjnej T-Mobile Polska S.A. zlokalizowanej w miejscowości GRODZICZNO DZ.209/16.

5. Cel zlecenia:

Wykonanie pomiarów pól elektromagnetycznych w otoczeniu instalacji radiokomunikacyjnej 36720 (46620N!) GTO_GRODZICZN_GRODZICZNO w odniesieniu do wymagań określonych w *Rozporządzeniu Ministra Klimatu z dnia 17 lutego 2020 r. w sprawie sposobów sprawdzania dotrzymania dopuszczalnych poziomów pól elektromagnetycznych w środowisku (Dz. U. 2020, poz. 258)*.

6. Pomiary zostały wykonane przez:

Nowak Paweł
Mach Janusz

7. Informacje o źródłach pól elektromagnetycznych

7.1. Sposób identyfikacji badanych źródeł pól elektromagnetycznych

Identyfikacji źródeł i parametrów technicznych dokonano na podstawie analizy dokumentacji dotyczącej zlecenia oraz obserwacji miejsca wykonywania badań.

7.2. Opis miejsca zainstalowania anten i urządzeń technicznych. Opis obiektu badań i jego otoczenia

Instalacja radiokomunikacyjna zlokalizowana jest na terenie ogrodzonym. Anteny zawieszono na wieży kratowej. Urządzenia sterujące oraz zasilające zainstalowano w szafie outdoor u podstawy wieży. Wokół instalacji znajduje się wieś.

Instalacja radiokomunikacyjna jest obiektem bezobsługowym. Okresowe stanowiska pracy związane są z prowadzonymi w zależności od potrzeb konserwacjami, przeglądami, strojeniem i naprawami.

Sprawozdanie z badań bez pisemnej zgody laboratorium nie może być powielane inaczej niż w całości.
Wynik przedstawione w niniejszym sprawozdaniu odnoszą się wyłącznie do badanego obiektu i do warunków i konfiguracji urządzeń w dniu wykonywania pomiarów.

7.3. Parametry techniczne źródła pola elektromagnetycznego

Dane przedstawiające maksymalne parametry pracy instalacji przekazane przez zleceniodawcę:

Parametry systemu nadawczo-odbiorczego:

| Charakterystyka promieniowania | | kierunkowa | | | | | |
|---------------------------------|--|----------------------|--------------|------------|---------------------|---|--|
| Rzeczywisty czas pracy [h/dobę] | | 24 | | | | | |
| Warunki pracy | | znamionowe | | | | | |
| Rodzaj wytwarzanego pola | | stacjonarne | | | | | |
| Lp. | Częstotliwość lub zakresy częstotliwości pracy [MHz] | Typ/producent anteny | liczba anten | Azymut [°] | kąt pochylenia* [°] | Wysokość środka elektrycznego anteny [m n.p.t.] | Równoważna moc promieniowana izotropowo (EIRP) [W] |
| 1 | 800/900/1800/2100 | ATR451607 Huawei | 1 | 70 | 0/0/4/4 | 45.4 | 17259 |
| 2 | 800/900/1800/2100 | ATR451607 Huawei | 1 | 310 | 0/0/4/4 | 45.4 | 17259 |

* wskazane wartości kąta pochylenia anten, zgodnie z informacją uzyskaną od zleceniodawcy, są wartościami stałymi

Parametry radiolinii:

| Charakterystyka promieniowania | | kierunkowa | | | | | |
|---------------------------------|--|---------------------------|--|---------------------------------------|---------------------|------------|-----------------------------------|
| Rzeczywisty czas pracy [h/dobę] | | 24 | | | | | |
| Warunki pracy | | znamionowe | | | | | |
| Rodzaj wytwarzanego pola | | stacjonarne | | | | | |
| Lp. | Linia radiowa | | | Antena | | | |
| | Typ/ Producent | Częstotliwość pracy [GHz] | Równoważna moc promieniowana izotropowo (EIRP) [W] | Typ/ producent | Średnica anteny [m] | Azymut [°] | Wysokość zainstalowania n.p.t [m] |
| 1. | NP ERICSSON ML 6363 23GHz 28MHz NP ERICSSON ML 6352 R2+ 70/80GHz 250MHz Ericsson | 23/80 | 1446/5371 | ANT2/2_0.6 23/80 HP/HP Ericsson | 0.6 | 0 | 45 |
| 2. | WTM 3100 38GHz 28MHz Harris Stratex | 38 | 576 | VHLP1-38 Andrew | 0.3 | 64 | 44 |
| 3. | NP ERICSSON RAU2X 38GHz 28MHz Ericsson | 38 | 1259 | UKY 210 75/SC15 Ericsson | 0.3 | 95 | 45.5 |

7.4 Inne źródła pól elektromagnetycznych

Na podstawie informacji otrzymanych od użytkownika oraz obserwacji otoczenia miejsca wykonywania pomiarów oraz stwierdzono występowanie innych źródeł pola-EM, pracujących w systemie: telefonii komórkowej (800MHz-2600MHz), linii radiowych (5GHz - 90GHz). Nie rozpoznano szczegółowych danych dotyczących parametrów technicznych źródeł pola-EM innych użytkowników.

8. Opis pomiarów

8.1. Metoda badań

Zgodna z rozporządzeniem Ministra Klimatu z dnia 17 lutego 2020 r. w sprawie sposobów sprawdzania dotrzymania dopuszczalnych poziomów pól elektromagnetycznych w środowisku (Dz. U. 2020, poz. 258), określona w pkt 25 ppkt 1 załącznika do niniejszego rozporządzenia.

Sprawozdanie z badań bez pisemnej zgody laboratorium nie może być powielane inaczej niż w całości.
Wynik przedstawione w niniejszym sprawozdaniu odnoszą się wyłącznie do badanego obiektu i do warunków i konfiguracji urządzeń w dniu wykonywania pomiarów.

Zgodnie z art. 122a ust. 1b ustawy Prawo Ochrony Środowiska, w przypadku wprowadzenia na części albo całym terytorium Rzeczypospolitej Polskiej stanu nadzwyczajnego, o którym mowa w art. 228 ust. 1 Konstytucji Rzeczypospolitej Polskiej z dnia 2 kwietnia 1997 r. (Dz. U. poz. 483, z 2001 r. poz. 319, z 2006 r. poz. 1471 oraz z 2009 r. poz. 946), lub stanu zagrożenia epidemicznego lub stanu epidemii, o których mowa w art. 46 ustawy z dnia 5 grudnia 2008 r. o zapobieganiu oraz zwalczaniu zakażeń i chorób zakaźnych u ludzi (Dz. U. z 2019 r. poz. 1239, z późn. zm.8)), pomiary, nie przeprowadza się w lokalach mieszkalnych oraz w lokalach użytkowych zlokalizowanych na terytorium objętym stanem nadzwyczajnym, stanem zagrożenia epidemicznego lub stanem epidemii.

W związku z obecnie obowiązującym stanem epidemii, pomiarów nie wykonano w lokalach mieszkalnych oraz w lokalach użytkowych zlokalizowanych w obszarze pomiarowym przedmiotowej instalacji radiokomunikacyjnej.

8.2. Termin pomiarów i warunki środowiskowe

Podczas wykonywania pomiarów pól elektromagnetycznych nie występowały opady atmosferyczne. Wyniki pomiaru parametrów pogodowych przedstawia poniższa tabela:

| Data [rrrr-mm-dd] | Godzina [hh:mm-hh:mm] | Warunki środowiskowe | | | |
|----------------------|--------------------------|----------------------|--------------|-------------------------|--------------|
| | | Temperatura [°C] | | Wilgotność względna [%] | |
| 2021-12-14 | 08:50-10:00 | Przed pomiarem | Po pomiarach | Przed pomiarem | Po pomiarach |
| | | 0.4 | 0.4 | 69.7 | 69.5 |

Przedstawione wyżej warunki środowiskowe, występujące podczas wykonywania pomiarów pól elektromagnetycznych, są zgodne ze specyfikacją techniczną użytego zestawu pomiarowego.

8.3. Warunki pracy urządzeń nadawczych

Podczas pomiarów zostały uwzględnione poprawki pomiarowe przekazane przez zleceniodawcę, umożliwiające uwzględnienie maksymalnych parametrów pracy instalacji zgodnie z pkt 7 załącznika do Rozporządzeniem Ministra Klimatu z dnia 17 lutego 2020 r. w sprawie sposobów sprawdzania dotrzymania dopuszczalnych poziomów pól elektromagnetycznych w środowisku (Dz. U. 2020, poz. 258).

8.4. Wyposażenie pomiarowe

Zestaw pomiarowy służący do pomiaru natężenia składowej elektrycznej pola elektromagnetycznego złożony z szerokopasmowego miernika i sondy pomiarowej:

| Oznaczenie miernika | Producent | Model | Numer fabryczny | Oznaczenie sondy | Producent | Model | Numer fabryczny |
|---------------------|----------------------------|--|-----------------|------------------|----------------------------|--------------|-----------------|
| M-22 | Narda Safety Test Solution | Miernik pól elektromagnetycznych NBM-550 | H-0487 | S-29 | Narda Safety Test Solution | Sonda EF9091 | A-0069 |

Mierniki natężenia pola elektromagnetycznego podlegają okresowemu sprawdzeniu zgodnie z procedurą wewnętrzną P-03 i PB-01. Świadczenie wzorcowania zestawu pomiarowego z dnia 2 czerwca 2020 o numerze LWiMP/W/165/20 wydane przez Laboratorium Wzorców i Metrologii Pola Elektromagnetycznego (LWiMP) Politechniki Wrocławskiej.
Data ważności świadectwa wzorcowania: 2 czerwca 2022 (zgodnie z procedurą wewnętrzną P-03).

| Oznaczenie miernika | Producent | Model | Numer fabryczny | Oznaczenie sondy | Producent | Model | Numer fabryczny |
|---------------------|----------------------------|--|-----------------|------------------|----------------------------|--------------|-----------------|
| M-22 | Narda Safety Test Solution | Miernik pól elektromagnetycznych NBM-550 | H-0487 | S-30 | Narda Safety Test Solution | Sonda EF0391 | D-1594 |

Mierniki natężenia pola elektromagnetycznego podlegają okresowemu sprawdzeniu zgodnie z procedurą wewnętrzną P-03 i PB-01. Świadczenie wzorcowania zestawu pomiarowego z dnia 2 czerwca 2020 o numerze LWiMP/W/165/20 wydane przez Laboratorium Wzorców i Metrologii Pola Elektromagnetycznego (LWiMP) Politechniki Wrocławskiej.
Data ważności świadectwa wzorcowania: 2 czerwca 2022 (zgodnie z procedurą wewnętrzną P-03).

Termohigrometr:

| | | | | | |
|-------------|-------|------------|--------------------|--------|-----------------------|
| Oznaczenie: | TH-11 | Producent: | AZ INSTRUMENT CORP | Model: | Termohigrometr AZ8706 |
|-------------|-------|------------|--------------------|--------|-----------------------|

Data ważności świadectwa wzorcowania: 20 maja 2023 (zgodnie z procedurą wewnętrzną P-03).

Sprawozdanie z badań bez pisemnej zgody laboratorium nie może być powielane inaczej niż w całości.
Wynik przedstawione w niniejszym sprawozdaniu odnoszą się wyłącznie do badanego obiektu i do warunków i konfiguracji urządzeń w dniu wykonywania pomiarów.

Dalmierz:

| Oznaczenie | Producent | Typ | Numer seryjny | Nr świadectwa wzorcowania | Data świadectwa wzorcowania |
|------------|-----------|---------------------------|---------------|---------------------------|-----------------------------|
| D-08 | Leica | Dalmierz Leica Disto D510 | 1042957273 | 4609.4-M11-4180-1748/14 | 9 stycznia 2015 |

Data ważności świadectwa wzorcowania: 9 stycznia 2025 (zgodnie z procedurą wewnętrzną P-03).

9. Wyniki pomiarów

Pole elektryczne

| Nr pionu | Opis umiejscowienia pionu (punktu pomiarowego) | Wysokość pomiaru [m] | Zmierzona wartość natężenia pola elektrycznego E [V/m] ^{1,5} | | | Wartość natężenia pola elektrycznego po uwzględnieniu poprawek pomiarowych powiększona o niepewność pomiaru ⁴ E [V/m] | Wskaźnikowa wartość poziomu emisji pól elektromagnetycznych WMe ³ | Współrzędne geograficzne pionu (punktu pomiarowego) ² |
|----------|--|----------------------|---|------------|------|--|--|--|
| | | | Sonda S-29 | Sonda S-30 | SUMA | | | |
| 1 | GKP w odległości 19m od anteny radioliniowej az. 0° | 0,3-2,0 | <1,0 | <1,0 | <1,0 | 2.1 | 0.08 | 53°24'34.92" 19°45'2.88" |
| 2 | GKP w odległości 47m od anteny radioliniowej az. 0° | 0,3-2,0 | <1,0 | <1,0 | <1,0 | 2.1 | 0.08 | 53°24'35.64" 19°45'2.88" |
| 3 | GKP w odległości 90m od anteny radioliniowej az. 0° | 0,3-2,0 | <1,0 | <1,0 | <1,0 | 2.1 | 0.08 | 53°24'37.079" 19°45'2.88" |
| 4 | GKP w odległości 18m od anteny radioliniowej az. 64° | 0,3-2,0 | <1,0 | <1,0 | <1,0 | 2.1 | 0.08 | 53°24'34.559" 19°45'3.96" |
| 5 | GKP w odległości 46m od anteny radioliniowej az. 64° | 0,3-2,0 | <1,0 | <1,0 | <1,0 | 2.1 | 0.08 | 53°24'34.92" 19°45'5.4" |
| 6 | GKP w odległości 79m od anteny radioliniowej az. 64° | 0,3-2,0 | <1,0 | <1,0 | <1,0 | 2.1 | 0.08 | 53°24'35.279" 19°45'6.839" |
| 7 | GKP w odległości 28m od anteny sektorowej az. 70° | 0,3-2,0 | <1,0 | <1,0 | <1,0 | 2.1 | 0.08 | 53°24'34.559" 19°45'4.32" |
| 8 | GKP w odległości 58m od anteny sektorowej az. 70° | 0,3-2,0 | <1,0 | <1,0 | <1,0 | 2.1 | 0.08 | 53°24'34.92" 19°45'6.119" |
| 9 | GKP w odległości 97m od anteny sektorowej az. 70° | 0,3-2,0 | <1,0 | <1,0 | <1,0 | 2.1 | 0.08 | 53°24'35.279" 19°45'7.919" |
| 10 | GKP w odległości 15m od anteny radioliniowej az. 95° | 0,3-2,0 | <1,0 | <1,0 | <1,0 | 2.1 | 0.08 | 53°24'34.2" 19°45'3.96" |
| 11 | GKP w odległości 46m od anteny radioliniowej az. 95° | 0,3-2,0 | <1,0 | <1,0 | <1,0 | 2.1 | 0.08 | 53°24'34.2" 19°45'5.4" |
| 12 | GKP w odległości 91m od anteny radioliniowej az. 95° | 0,3-2,0 | <1,0 | <1,0 | <1,0 | 2.1 | 0.08 | 53°24'34.2" 19°45'7.919" |
| 13 | GKP w odległości 14m od anteny sektorowej az. 310° | 0,3-2,0 | <1,0 | <1,0 | <1,0 | 2.1 | 0.08 | 53°24'34.559" 19°45'2.519" |
| 14 | GKP w odległości 55m od anteny sektorowej az. 310° | 0,3-2,0 | <1,0 | <1,0 | <1,0 | 2.1 | 0.08 | 53°24'35.279" 19°45'0.719" |

Sprawozdanie z badań bez pisemnej zgody laboratorium nie może być powielane inaczej niż w całości.
Wynik przedstawione w niniejszym sprawozdaniu odnoszą się wyłącznie do badanego obiektu i do warunków i konfiguracji urządzeń w dniu wykonywania pomiarów.

| | | | | | | | | |
|----|--|---------|------|------|------|-----|------|--------------------------------|
| 15 | GKP w odległości 94m od anteny sektorowej az. 310° | 0,3-2,0 | <1,0 | <1,0 | <1,0 | 2.1 | 0.08 | 53°24'36.359" 19°44'58.92" |
| 16 | PPP na az. 202° w odległości 49m od anteny radioliniowej az. 95° | 0,3-2,0 | <1,0 | <1,0 | <1,0 | 2.1 | 0.08 | 53°24'32.76" 19°45'2.159" |
| - | GKP w odległości 229m od anteny sektorowej az. 70° | 0,3-2,0 | <1,0 | <1,0 | <1,0 | 2.1 | 0.08 | 53°24'36.72" 19°45'14.76" |
| - | GKP w odległości 457m od anteny sektorowej az. 70° | 0,3-2,0 | <1,0 | <1,0 | <1,0 | 2.1 | 0.08 | 53°24'39.239" 19°45'26.28" |
| - | GKP w odległości 230m od anteny sektorowej az. 310° | 0,3-2,0 | <1,0 | <1,0 | <1,0 | 2.1 | 0.08 | 53°24'39.239" 19°44'53.52" |
| - | GKP w odległości 458m od anteny sektorowej az. 310° | 0,3-2,0 | <1,0 | <1,0 | <1,0 | 2.1 | 0.08 | 53°24'43.919" 19°44'43.799" |

Pole magnetyczne (wyznaczone na podstawie pomiaru wartości natężenia pola elektrycznego)

| Nr pionu | Opis umiejscowienia pionu (punktu) pomiarowego | Wysokość pomiaru [m] | Wartość natężenia pola magnetycznego H [A/m] ¹ | | | Wartość natężenia pola magnetycznego po uwzględnieniu poprawek pomiarowych powiększona o niepewność pomiaru ⁴ H [A/m] | Wskaźnikowa wartość poziomu emisji pól elektromagnetycznych WM _H ³ | Współrzędne geograficzne pionu (punktu) pomiarowego ² |
|----------|--|----------------------|---|------------|---------|--|--|--|
| | | | Sonda S-29 | Sonda S-30 | SUMA | | | |
| 1 | GKP w odległości 19m od anteny radioliniowej az. 0° | 0,3-2,0 | <0.003* | <0.003* | <0.003* | 0.006 | 0.08 | 53°24'34.92" 19°45'2.88" |
| 2 | GKP w odległości 47m od anteny radioliniowej az. 0° | 0,3-2,0 | <0.003* | <0.003* | <0.003* | 0.006 | 0.08 | 53°24'35.64" 19°45'2.88" |
| 3 | GKP w odległości 90m od anteny radioliniowej az. 0° | 0,3-2,0 | <0.003* | <0.003* | <0.003* | 0.006 | 0.08 | 53°24'37.079" 19°45'2.88" |
| 4 | GKP w odległości 18m od anteny radioliniowej az. 64° | 0,3-2,0 | <0.003* | <0.003* | <0.003* | 0.006 | 0.08 | 53°24'34.559" 19°45'3.96" |
| 5 | GKP w odległości 46m od anteny radioliniowej az. 64° | 0,3-2,0 | <0.003* | <0.003* | <0.003* | 0.006 | 0.08 | 53°24'34.92" 19°45'5.4" |
| 6 | GKP w odległości 79m od anteny radioliniowej az. 64° | 0,3-2,0 | <0.003* | <0.003* | <0.003* | 0.006 | 0.08 | 53°24'35.279" 19°45'6.839" |
| 7 | GKP w odległości 28m od anteny sektorowej az. 70° | 0,3-2,0 | <0.003* | <0.003* | <0.003* | 0.006 | 0.08 | 53°24'34.559" 19°45'4.32" |
| 8 | GKP w odległości 58m od anteny sektorowej az. 70° | 0,3-2,0 | <0.003* | <0.003* | <0.003* | 0.006 | 0.08 | 53°24'34.92" 19°45'6.119" |

Sprawozdanie z badań bez pisemnej zgody laboratorium nie może być powielane inaczej niż w całości.
Wynik przedstawione w niniejszym sprawozdaniu odnoszą się wyłącznie do badanego obiektu i do warunków i konfiguracji urządzeń w dniu wykonywania pomiarów.

| | | | | | | | | |
|----|--|---------|---------|---------|---------|-------|------|--------------------------------|
| 9 | GKP w odległości 97m od anteny sektorowej az. 70° | 0,3-2,0 | <0.003* | <0.003* | <0.003* | 0.006 | 0.08 | 53°24'35.279" 19°45'7.919" |
| 10 | GKP w odległości 15m od anteny radioliniowej az. 95° | 0,3-2,0 | <0.003* | <0.003* | <0.003* | 0.006 | 0.08 | 53°24'34.2" 19°45'3.96" |
| 11 | GKP w odległości 46m od anteny radioliniowej az. 95° | 0,3-2,0 | <0.003* | <0.003* | <0.003* | 0.006 | 0.08 | 53°24'34.2" 19°45'5.4" |
| 12 | GKP w odległości 91m od anteny radioliniowej az. 95° | 0,3-2,0 | <0.003* | <0.003* | <0.003* | 0.006 | 0.08 | 53°24'34.2" 19°45'7.919" |
| 13 | GKP w odległości 14m od anteny sektorowej az. 310° | 0,3-2,0 | <0.003* | <0.003* | <0.003* | 0.006 | 0.08 | 53°24'34.559" 19°45'2.519" |
| 14 | GKP w odległości 55m od anteny sektorowej az. 310° | 0,3-2,0 | <0.003* | <0.003* | <0.003* | 0.006 | 0.08 | 53°24'35.279" 19°45'0.719" |
| 15 | GKP w odległości 94m od anteny sektorowej az. 310° | 0,3-2,0 | <0.003* | <0.003* | <0.003* | 0.006 | 0.08 | 53°24'36.359" 19°44'58.92" |
| 16 | PPP na az. 202° w odległości 49m od anteny radioliniowej az. 95° | 0,3-2,0 | <0.003* | <0.003* | <0.003* | 0.006 | 0.08 | 53°24'32.76" 19°45'2.159" |
| - | GKP w odległości 229m od anteny sektorowej az. 70° | 0,3-2,0 | <0.003* | <0.003* | <0.003* | 0.006 | 0.08 | 53°24'36.72" 19°45'14.76" |
| - | GKP w odległości 457m od anteny sektorowej az. 70° | 0,3-2,0 | <0.003* | <0.003* | <0.003* | 0.006 | 0.08 | 53°24'39.239" 19°45'26.28" |
| - | GKP w odległości 230m od anteny sektorowej az. 310° | 0,3-2,0 | <0.003* | <0.003* | <0.003* | 0.006 | 0.08 | 53°24'39.239" 19°44'53.52" |
| - | GKP w odległości 458m od anteny sektorowej az. 310° | 0,3-2,0 | <0.003* | <0.003* | <0.003* | 0.006 | 0.08 | 53°24'43.919" 19°44'43.799" |

GKP – Główny Kierunek Pomiarowy
PPP – Pomocniczy Pion pomiarowy

¹ wyniki oznaczone * są wynikami poniżej czułości zestawu pomiarowego

² współrzędne geograficzne pozyskane metodą obliczeniową w oparciu o pomiar punktu referencyjnego

³ do wyznaczenia wartości wskaźnikowej W_{ME} i W_{MH} przyjęto na podstawie uzgodnień z klientem oraz rozpoznania źródeł, jako wartości dopuszczalne pola elektrycznego i magnetycznego odpowiednio 28 V/m i 0,073 A/m.

⁴ do wyznaczenia niepewności dla wyników poniżej czułości zestawu pomiarowego, przyjęto niepewność dla minimalnej wartości z zakresu pomiarowego.

⁵ maksymalna wartość chwilowa

Niepewność oszacowano zgodnie z dokumentem P-03 „Procedura nadzoru nad wyposażeniem” w postaci niepewności rozszerzonej wynikającej z niepewności standardowej pomnożonej przez współczynnik rozszerzenia $k=2$.

Całkowita szacowana niepewność rozszerzona składowej E wynosi odpowiednio:

sonda S-29: 30.2% dla częstotliwości do 3 GHz, sonda S-30: 28.3% dla częstotliwości do 3 GHz

Sprawozdanie z badań bez pisemnej zgody laboratorium nie może być powielane inaczej niż w całości.
Wynik przedstawione w niniejszym sprawozdaniu odnoszą się wyłącznie do badanego obiektu i do warunków i konfiguracji urządzeń w dniu wykonywania pomiarów.

Dla przedmiotowych pomiarów zlecniodawca określił poprawkę pomiarową = 1.65.

Umiejscowienie pionów (punktów) pomiarowych przedstawiono w nr 2 do niniejszego sprawozdania.

10. Omówienie wyników pomiarów

Wyniki pomiarów uzyskane zostały przy uwzględnieniu poprawek pomiarowych przekazanych przez zlecniodawcę, umożliwiającymi uwzględnienie maksymalnych parametrów pracy instalacji zlecniodawcy oraz innych operatorów występujących w obszarze pomiarowym.

W wyniku zastosowania sposobu sprawdzenia dotrzymania dopuszczalnych poziomów pól elektromagnetycznych w środowisku, zgodnie pkt 25 ppkt 1 Rozporządzenia Ministra Klimatu z dnia 17 lutego 2020 r. (Dz. U. 2020, poz. 258), w związku z tym, że żadna z wartości wskaźnikowych, udokumentowanych w tabelach w pkt. 9 nie przekracza wartości 1, stwierdza się, że w miejscach, w których wykonano pomiary w otoczeniu instalacji radiokomunikacyjnej 36720 (46620N!) GTO_GRODZICZN_GRODZICZNO, dopuszczalne poziomy pól elektromagnetycznych w środowisku należy uznać za dotrzymane.

11. Podstawa prawna

- 1) Ustawa z dnia 27 kwietnia 2001 r. Prawo ochrony środowiska (t. j. Dz. U. z 2020 r., poz. 1219 z późn.zm.)
- 2) Rozporządzenie Ministra Zdrowia z dnia 17 grudnia 2019 r. w sprawie dopuszczalnych poziomów pól elektromagnetycznych w środowisku (Dz. U. 2019, poz. 2448)
- 3) Rozporządzenie Ministra Klimatu z dnia 17 lutego 2020 r. w sprawie sposobów sprawdzania dotrzymania dopuszczalnych poziomów pól elektromagnetycznych w środowisku (Dz. U. 2020, poz. 258),
- 4) Akredytacja nr AB 419 wydana przez Polskie Centrum Akredytacji (wydanie 17, z dnia 13 stycznia 2021r.).

12. Spis załączników

- Załącznik 1. Lokalizacja obiektu badań
- Załącznik 2. Usytuowanie pionów (punktów) pomiarowych
- Załącznik 3. Dokumentacja fotograficzna obiektu badań

13. Data wydania i autoryzowania sprawozdania

Obliczenia i sprawozdanie wykonał :

Sprawozdanie autoryzował:

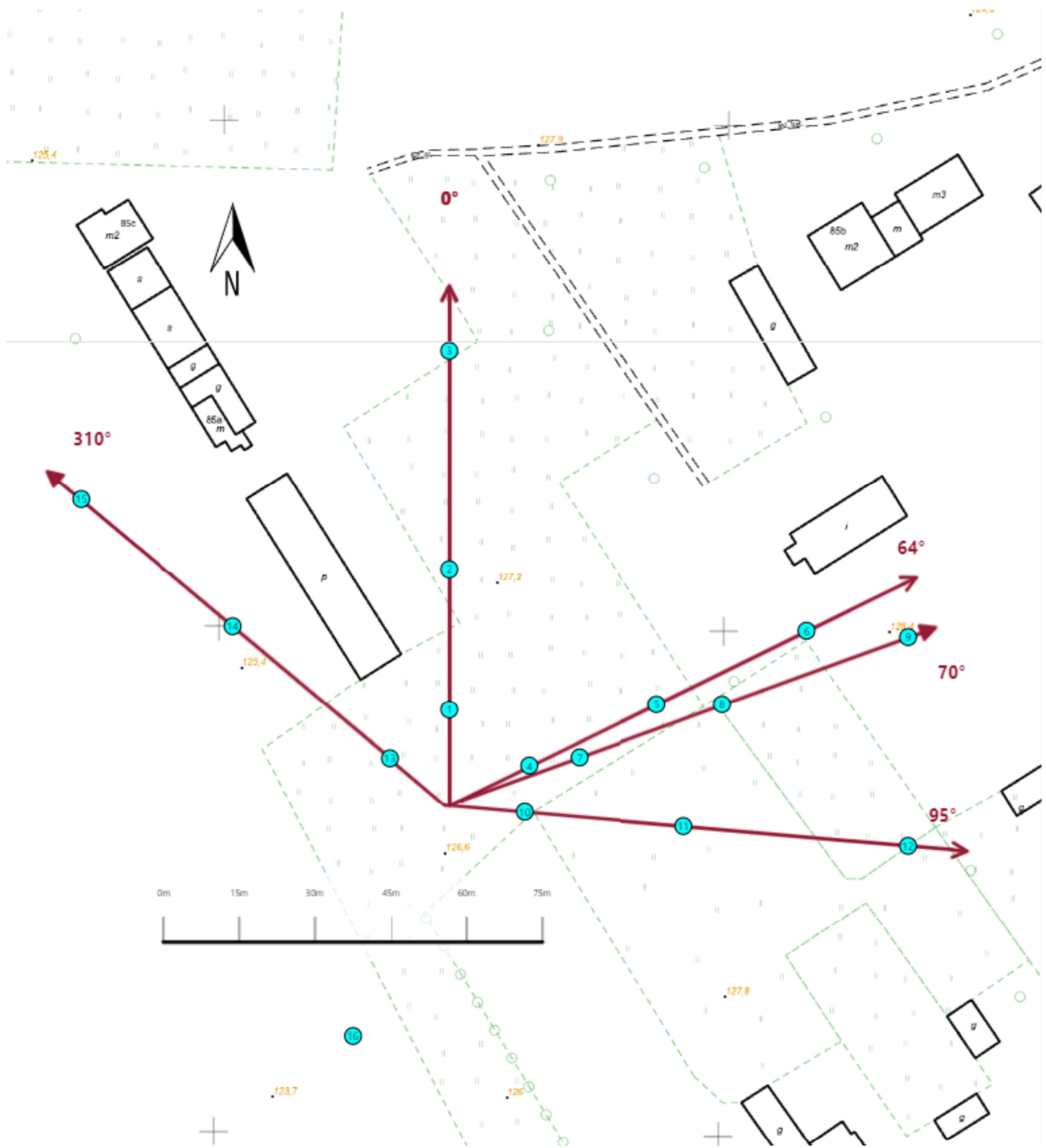
Koniec sprawozdania




Sprawozdanie z badań bez pisemnej zgody laboratorium nie może być powielane inaczej niż w całości.
Wynik przedstawione w niniejszym sprawozdaniu odnoszą się wyłącznie do badanego obiektu i do warunków i konfiguracji urządzeń w dniu wykonywania pomiarów.



Załącznik nr 1

INSTALACJA RADIOKOMUNIKACYJNA T-Mobile Polska S.A.
GTO_GRODZICZN_GRODZICZNO (46620N!)
Lokalizacja instalacji radiokomunikacyjnej



| | |
|----------------|--|
| Załącznik nr 2 | <p style="text-align: center;">Instalacja radiokomunikacyjna T-Mobile Polska S.A. GTO_GRODZICZN_GRODZICZNO (46620N!)</p> <p style="text-align: center;">Usytuowanie pionów pomiarowych w otoczeniu instalacji radiokomunikacyjnej</p> |
| | <p>Legenda:</p> <div style="display: flex; justify-content: space-around; align-items: center;"> <div style="text-align: center;">  Pion pomiarowy </div> <div style="text-align: center;">  Kierunek oddziaływania anten sektorowych </div> <div style="text-align: center;">  Kierunek oddziaływania anten radioliniowych </div> </div> |



Załącznik nr 3

INSTALACJA RADIOKOMUNIKACYJNA T-Mobile Polska S.A.
GTO_GRODZICZN_GRODZICZNO (46620N!)
Zdjęcia instalacji radiokomunikacyjnej